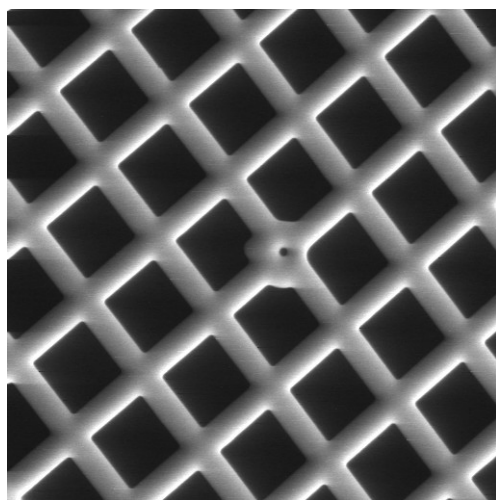


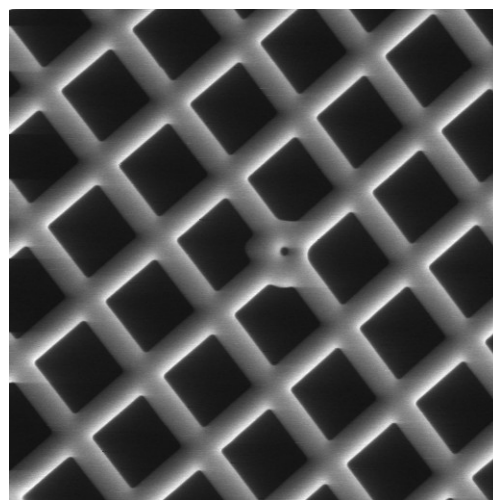
I. Příloha č.1 – Podíl složek SE1 a SE2 v detekovaném signálu

Tab. I.1: Závislost úrovně signálu na potenciálu na mřížce při detekci SD-EREM

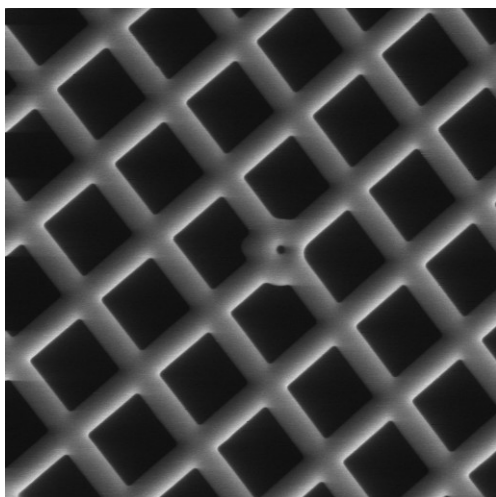
Napětí na mřížce [V]	Úroveň signálu z mřížky (Pd na Cu) středy průsečíků [-]	Úroveň signálu z mřížky (Pd na Cu) přesvícené hrany [-]	Úroveň signálu z uhlíkového terčíku (místa neozářená hranovým jevem) [-]
0	123,7	249,3	28,94
10	105,5	220,8	23,95
20	86,7	186,5	19,36
30	71,84	142,2	15,59
40	59,31	103,9	12,95
50	53,44	77,55	11,84
60	49,82	56,79	11,23
80	37,31	28,97	8,06
100	25,81	17,74	5,05
120	17,14	6,95	2,27
140	11,32	3,1	0,31
160	7,32	0,68	0
180	5,33	0,13	0



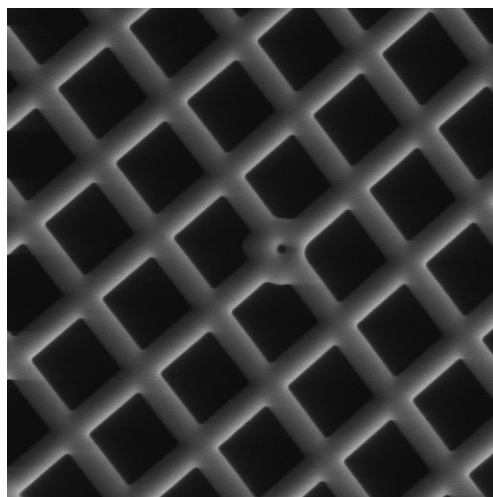
Obr. I-1: Pd mřížka s napětím $U_m = 0 V$



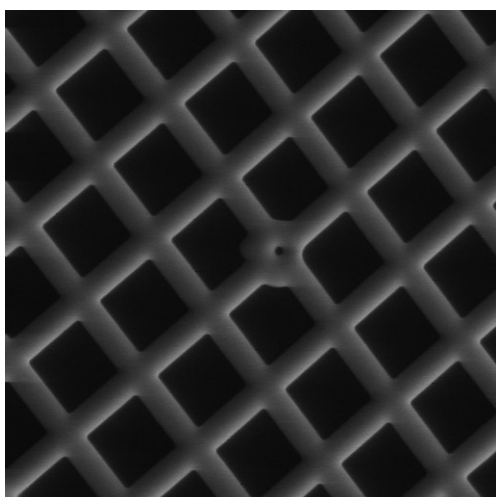
Obr. I-2: Pd mřížka s napětím $U_m = 10 V$



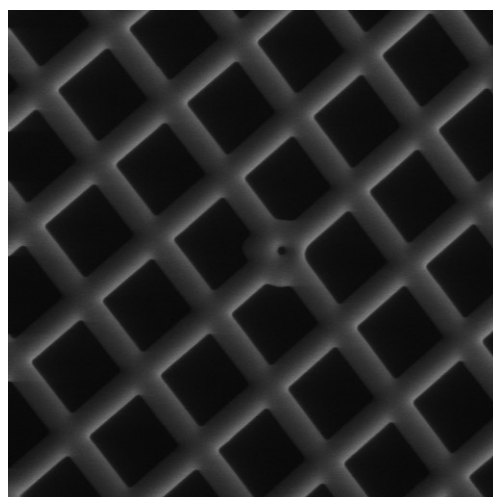
Obr. I-3: Pd mřížka s napětím $U_m = 20 V$



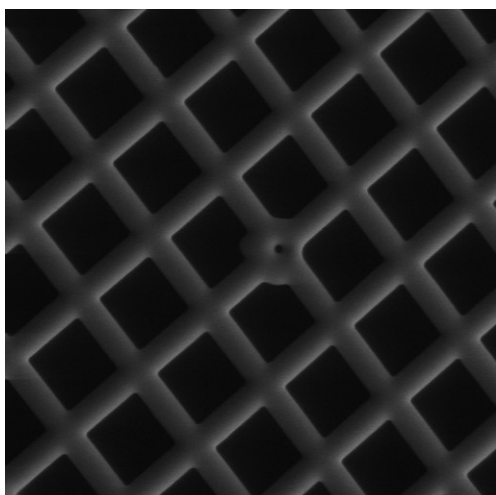
Obr. I-4: Pd mřížka s napětím $U_m = 30 V$



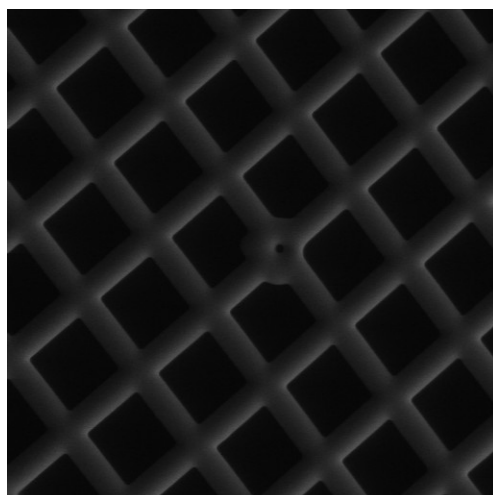
Obr. I-5: Pd mřížka s napětím $U_m = 40 V$



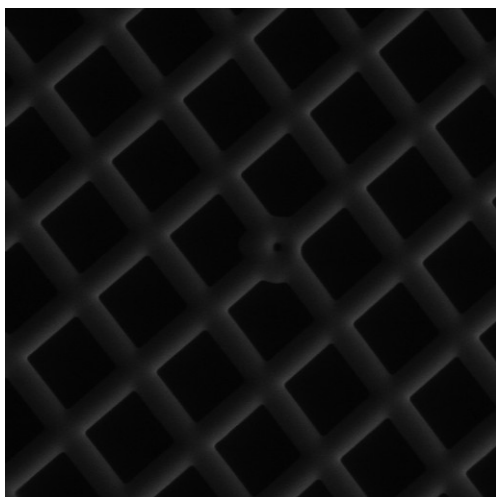
Obr. I-6: Pd mřížka s napětím $U_m = 50 V$



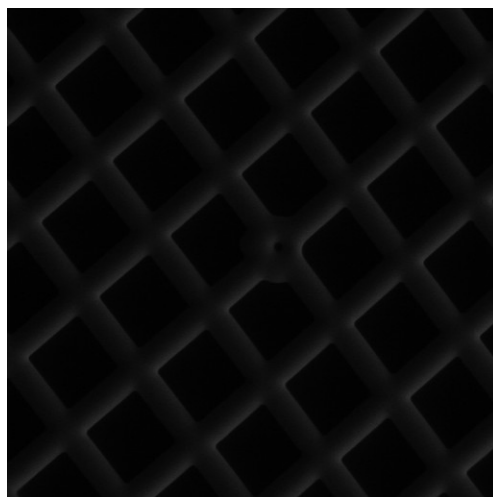
Obr. I-7: Pd mřížka s napětím $U_m = 60 V$



Obr. I-8: Pd mřížka s napětím $U_m = 80 V$



Obr. I-9: Pd mřížka s napětím $U_m = 100 V$



Obr. I-10: Pd mřížka s napětím $U_m = 120 V$



Obr. I-11: Pd mřížka s napětím $U_m = 140 V$



Obr. I-12: Pd mřížka s napětím $U_m = 160 V$

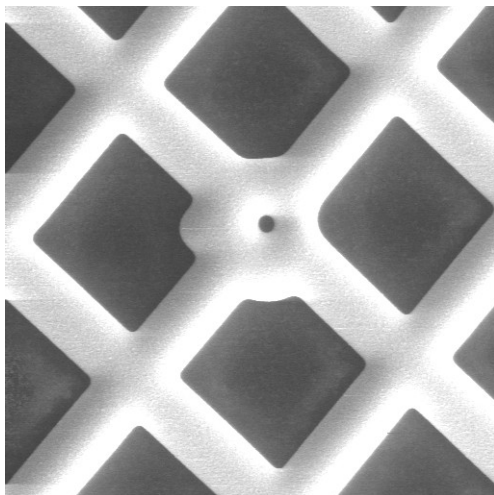


Obr. I-13: Pd mřížka s napětím $U_m = 180 V$

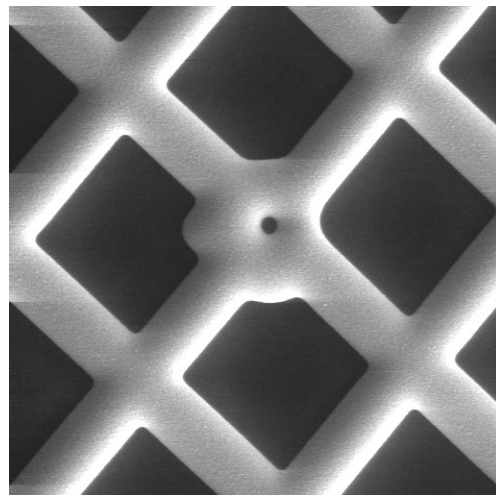
II. Příloha č.2 – Podíl složek SE1 a SE2 v detekovaném signálu

Tab. II.1: Závislost úrovně signálu na potenciálu na mřížce při detekci SD-EREM

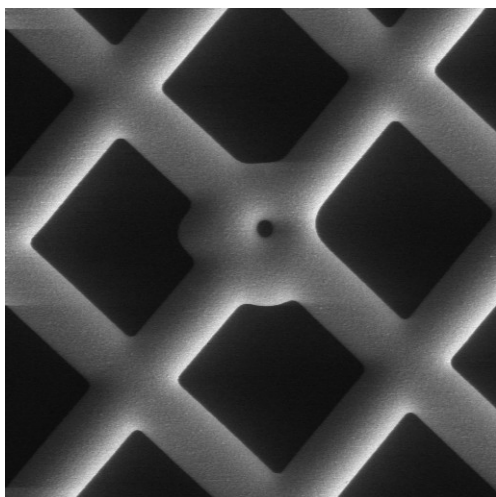
Napětí na mřížce [V]	Úroveň signálu z mřížky (Pd na Cu) středy průsečíků [-]	Úroveň signálu z mřížky (Pd na Cu) přesvícené hrany [-]	Úroveň signálu z uhlíkového terčiku (místa neozářená hranovým jevem) [-]
0	210,99	245,87	83,98
1	150,15	201,35	48,19
2	89,77	130,62	21,78
3	66,55	105,4	16
4	53,4	81,96	12,09
5	35,87	63,71	7,06
10	15,93	28,89	1,68
20	2,08	6,92	0,09
30	0,01	1,22	0
40	0	0,15	0
50	0	0	0



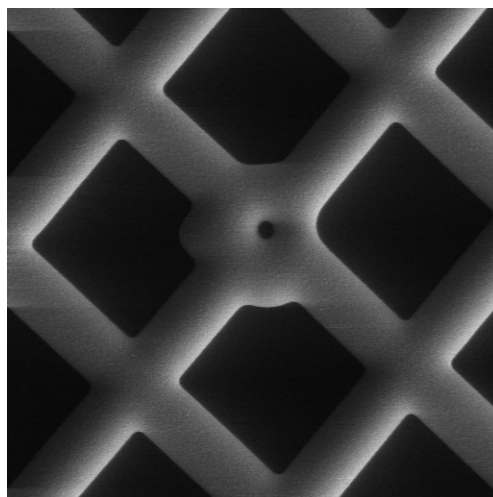
Obr. II-1: Pd mřížka s napětím $U_m = 0 V$



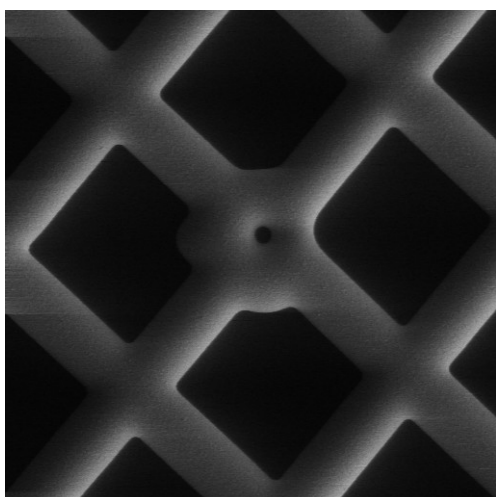
Obr. II-2: Pd mřížka s napětím $U_m = 1 V$



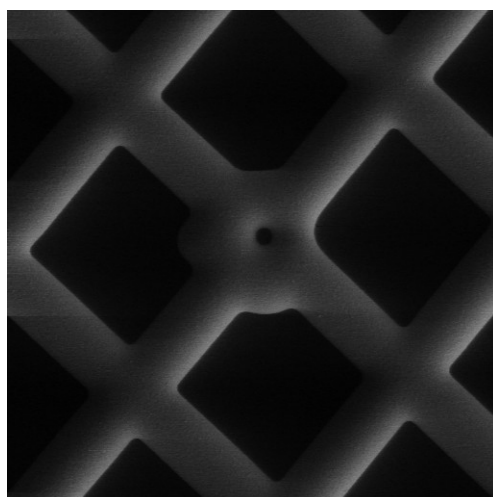
Obr. II-3: Pd mřížka s napětím $U_m = 2 V$



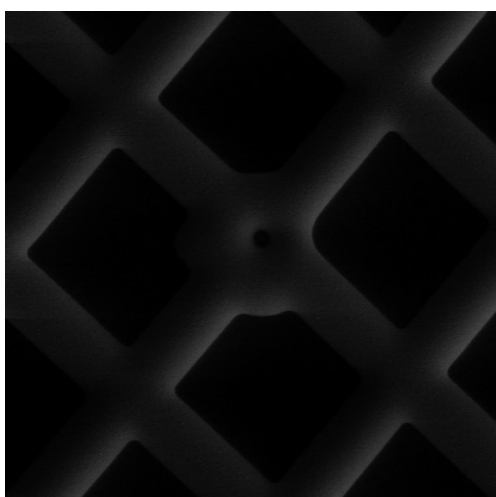
Obr. II-4: Pd mřížka s napětím $U_m = 3 V$



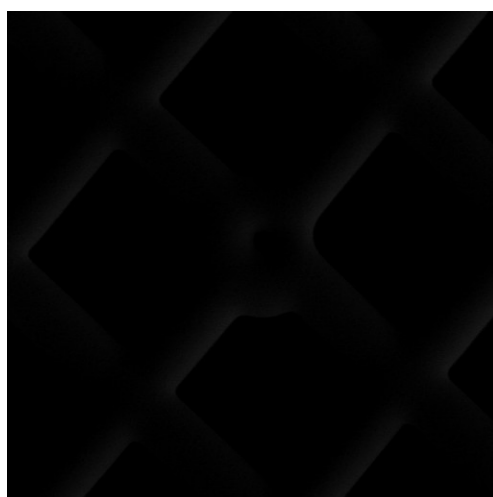
Obr. II-5: Pd mřížka s napětím $U_m = 4 V$



Obr. II-6: Pd mřížka s napětím $U_m = 5 V$



Obr. II-7: Pd mřížka s napětím $U_m = 10 V$



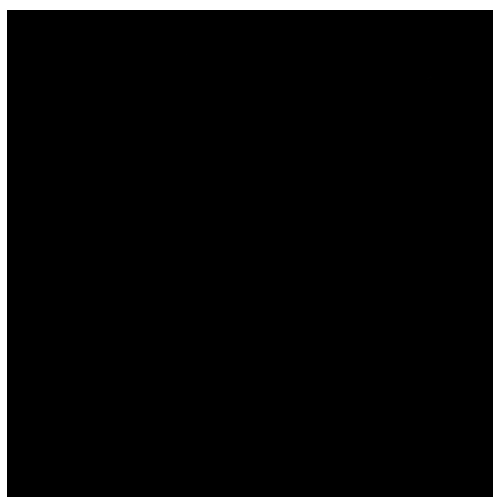
Obr. II-8: Pd mřížka s napětím $U_m = 20 V$



Obr. II-9: Pd mřížka s napětím $U_m = 30 V$



Obr. II-10: Pd mřížka s napětím $U_m = 40 V$



Obr. II-11: Pd mřížka s napětím $U_m = 50 V$

III. Příloha č.3 – Závislost velikosti signálu na napětí pro elektrodu E1

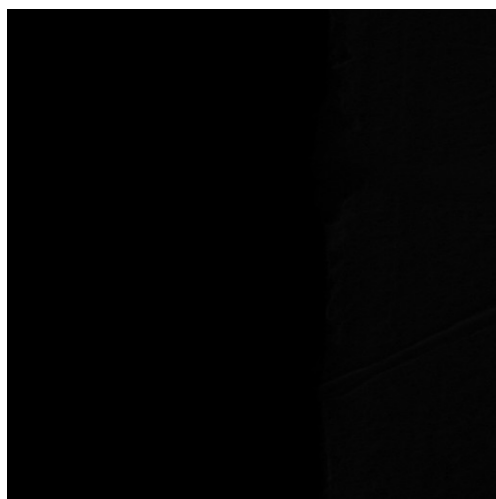
Tab. III.1: Závislost úrovně signálu z Pt a C na U_{E1} při optimalizovaných napětích na E2, C1, C2 a scintilátoru při tlaku 500 Pa

Napětí na E1 U_{E1} [V]	Úroveň signálu z Pt [-]	Úroveň signálu z C (bez díry) [-]
30	8,87	0,17
27	22,75	2,05
21	39,6	3,87
15	88,4	6,52
14	98,35	6,83
13	105,43	6,93
12	110,97	6,95
11	116,34	6,98
10	115,12	6,88
9	173,1	10,44
8	157,48	10,5
7	152,72	11,14
6	147,51	12,19
5	135,66	12,3
4	103,88	10,17
3	60,69	6,24
2	20,21	1,7
1	5,02	0,01

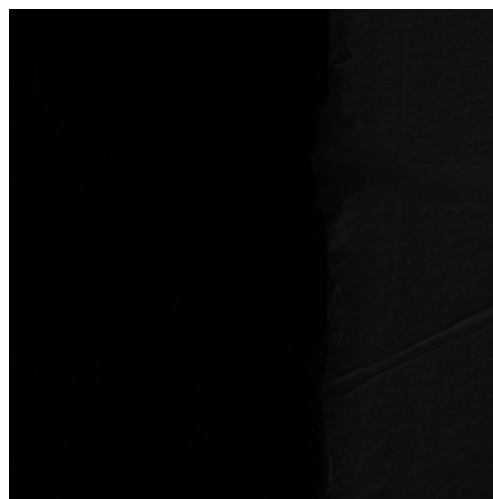
IV. Příloha č.4 – Závislost velikosti signálu na napětí pro elektrodu E2

Tab. IV.1: Závislost úrovně signálu z Pt a C na U_{E2} při optimalizovaných napětích na E1, C1, C2 a scintilátoru při tlaku 500 Pa

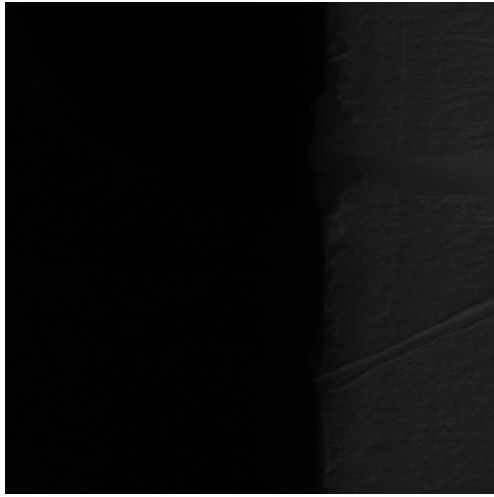
Napětí na E2 U_{E2} [V]	Úroveň signálu z Pt [-]	Úroveň signálu z C (bez díry) [-]
31	173,2	10,5
30	173,1	10,44
29	148,28	8,69
28	125,63	7,21
27	106,64	5,99
25	88,68	4,89
22	67,55	3,58
17	42,05	2,28
14	27,85	1,46
11	14,92	0,42
9	0	5,16



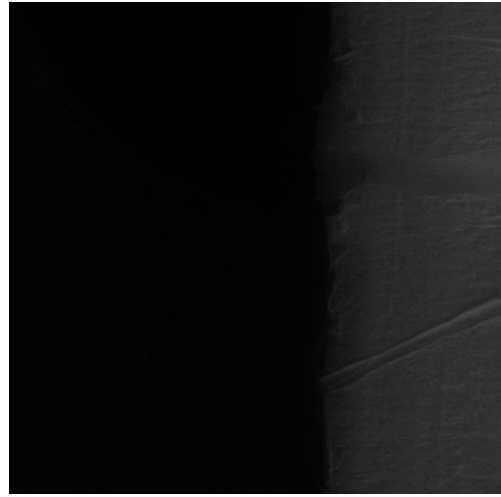
Obr. IV-1: Vzorek C, Pt, napětí $U_{E2} = 9$ V



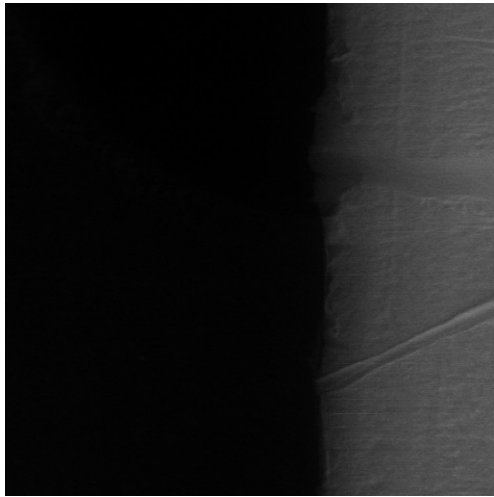
Obr. IV-2: Vzorek C, Pt, napětí $U_{E2} = 11$ V



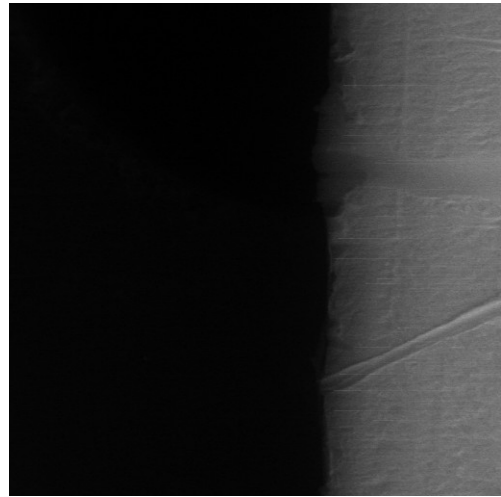
Obr. IV-3: Vzorek C, Pt, napětí $U_{E2} = 14 V$



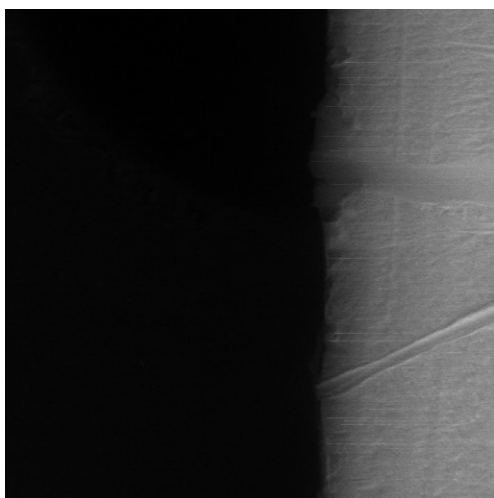
Obr. IV-4: Vzorek C, Pt, napětí $U_{E2} = 17 V$



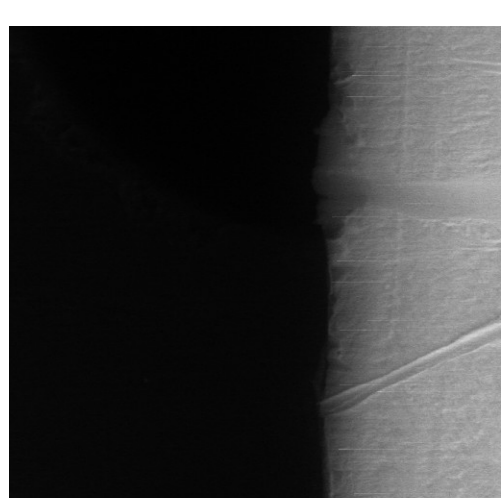
Obr. IV-5: Vzorek C, Pt, napětí $U_{E2} = 22 V$



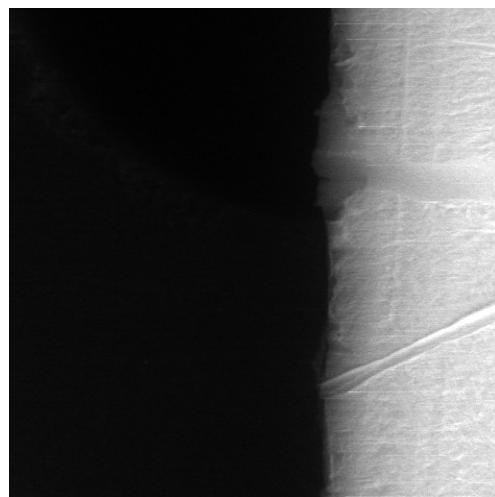
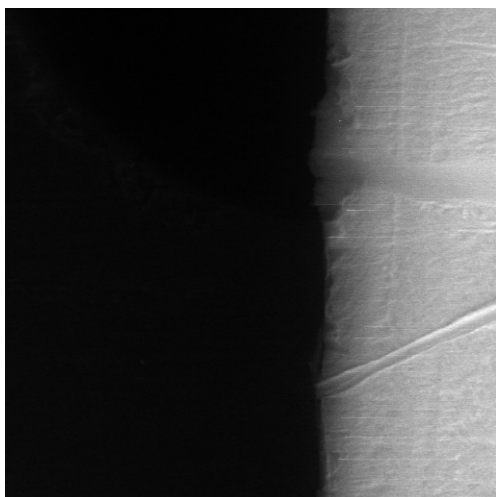
Obr. IV-6: Vzorek C, Pt, napětí $U_{E2} = 25 V$



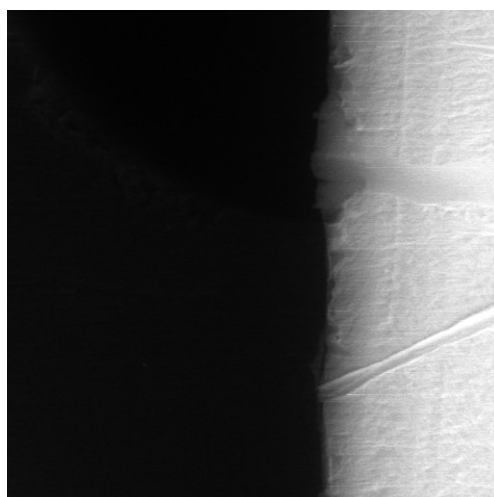
Obr. IV-7: Vzorek C, Pt, napětí $U_{E2} = 27 V$



Obr. IV-8: Vzorek C, Pt, napětí $U_{E2} = 28 V$



Obr. IV-9: Vzorek C, Pt, napětí $U_{E2} = 29 V$ Obr. IV-10: Vzorek C, Pt, napětí $U_{E2} = 30 V$

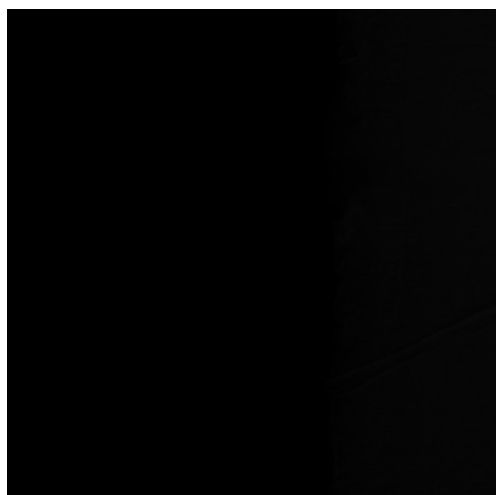


Obr. IV-11: Vzorek C, Pt, napětí $U_{E2} = 31,5 V$

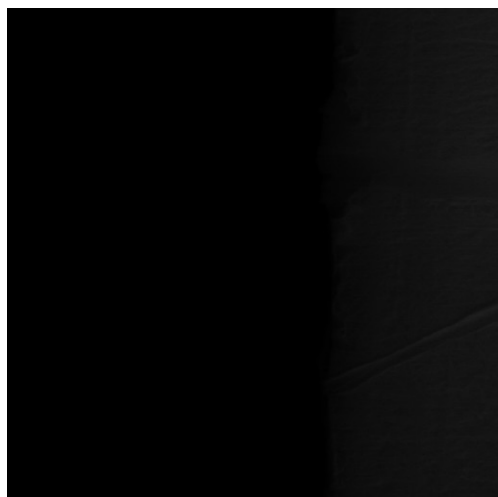
V. Příloha č.5 – Závislost velikosti signálu na napětí pro clonu C1

Tab. V.1: Závislost úrovně signálu z Pt a C na U_{C1} při optimalizovaných napětích na E1, E2, C2 a scintilátoru při tlaku 500 Pa

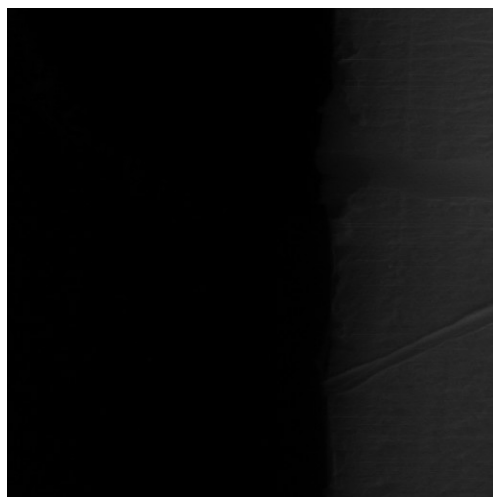
Napětí na C1 U_{C1} [V]	Úroveň signálu z Pt [-]	Úroveň signálu z C (bez díry) [-]
440	234,47	21,33
430	171,82	10,95
420	101,24	5,8
410	59,23	2,48
400	31,51	0,32
390	16,72	0,01
380	9,2	0
370	5,09	0



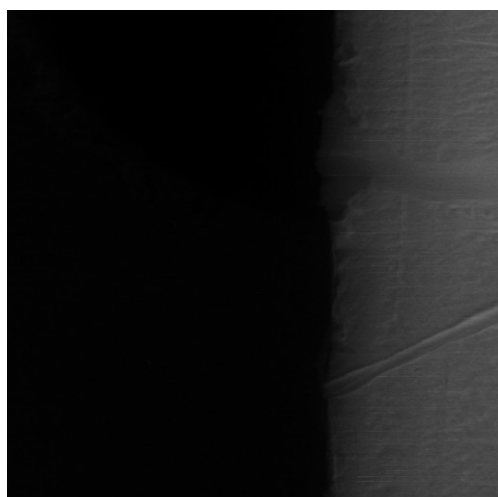
Obr. V-1: Vzorek C, Pt, napětí $U_{C1} = 370$ V Obr. V-2: Vzorek C, Pt, napětí $U_{C1} = 380$ V



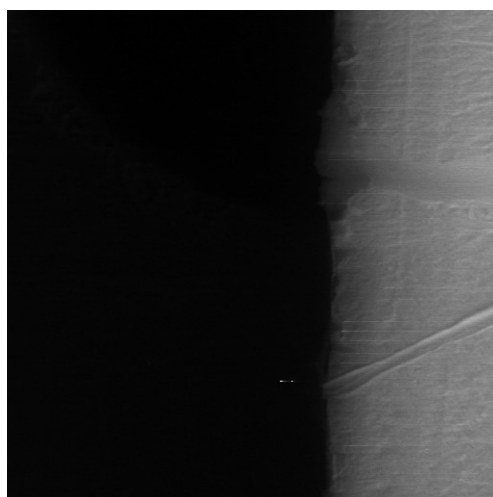
Obr. V-3: Vzorek C, Pt, napětí $U_{Cl} = 390 V$



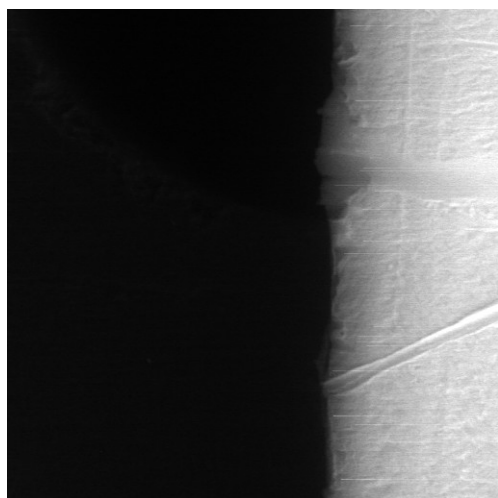
Obr. V-4: Vzorek C, Pt, napětí $U_{Cl} = 400 V$



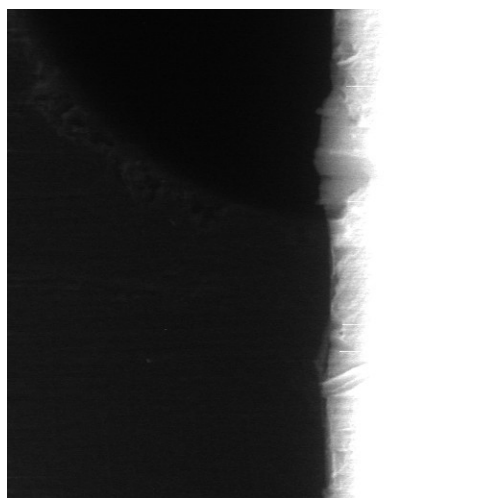
Obr. V-5: Vzorek C, Pt, napětí $U_{Cl} = 410 V$



Obr. V-6: Vzorek C, Pt, napětí $U_{Cl} = 420 V$



Obr. V-7: Vzorek C, Pt, napětí $U_{Cl} = 430 V$

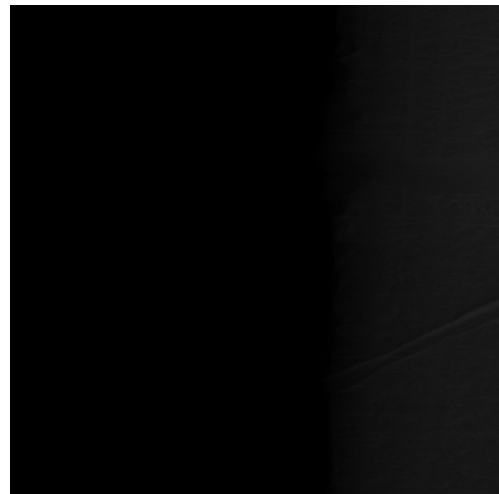


Obr. V-8: Vzorek C, Pt, napětí $U_{Cl} = 440 V$

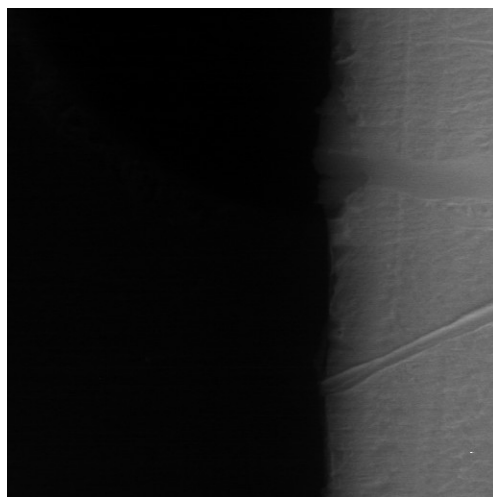
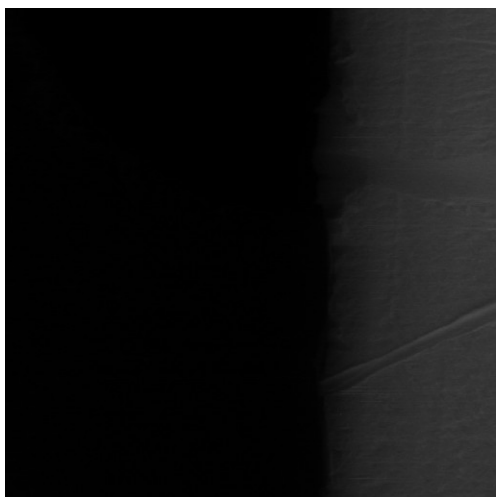
VI. Příloha č.6 – Závislost velikosti signálu na napětí pro clonu C2

Tab. VI.1: Závislost úrovně signálu z Pt a C na U_{C2} při optimalizovaných napětích na E1, E2, C1 a scintilátoru při tlaku 500 Pa

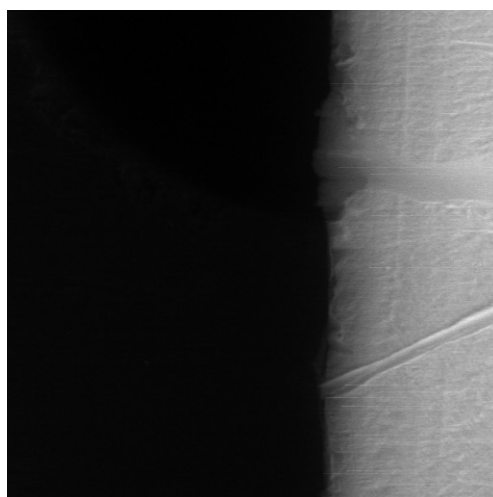
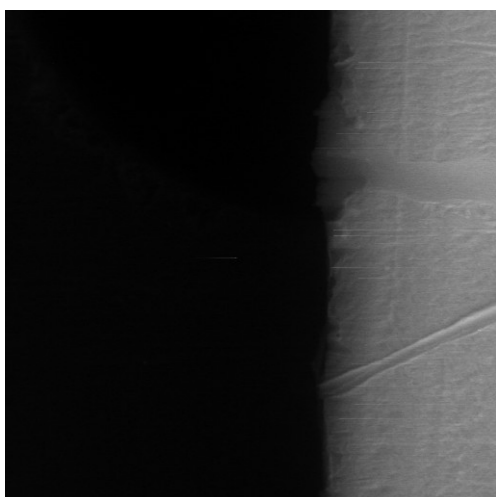
Napětí na C2 U_{C2} [V]	Úroveň signálu z Pt [-]	Úroveň signálu z C (bez díry) [-]
580	188,52	12,69
570	171,82	10,95
560	136,77	7,28
540	106,28	5,13
520	87,18	4,5
500	42,3	0,88
480	18,37	0,01
460	5,5	0



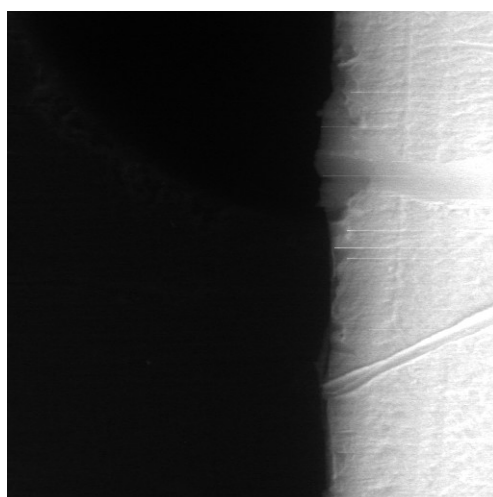
Obr. VI-1: Vzorek C, Pt, napětí $U_{C2} = 460$ V Obr. VI-2: Vzorek C, Pt, napětí $U_{C2} = 480$ V



Obr. VI-3: Vzorek C, Pt, napětí $U_{C2} = 500 V$ Obr. VI-4: Vzorek C, Pt, napětí $U_{C2} = 520 V$



Obr. VI-5: Vzorek C, Pt, napětí $U_{C2} = 540 V$ Obr. VI-6: Vzorek C, Pt, napětí $U_{C2} = 560 V$



Obr. VI-7: Vzorek C, Pt, napětí $U_{C2} = 580 V$

VII. Příloha č.7 – Závislost velikosti signálu na napětí scintilátoru

Tab. VII.1: Závislost úrovně signálu z Pt a C na $U_{scintilátor}$ při optimalizovaných napětích na E1, E2, C1 a C2 při tlaku 500 Pa

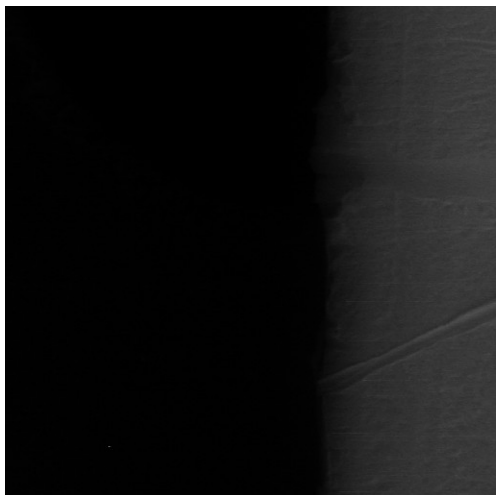
Napětí na Scintilátoru $U_{scintilátor}$ [kV]	Úroveň signálu z Pt [-]	Úroveň signálu z C (bez díry) [-]
8	253,68	59,96
7,5	233,77	24,96
7	174,96	10,45
6	96,55	4,96
5	45,64	1,01
4	15,53	0
3	0	0



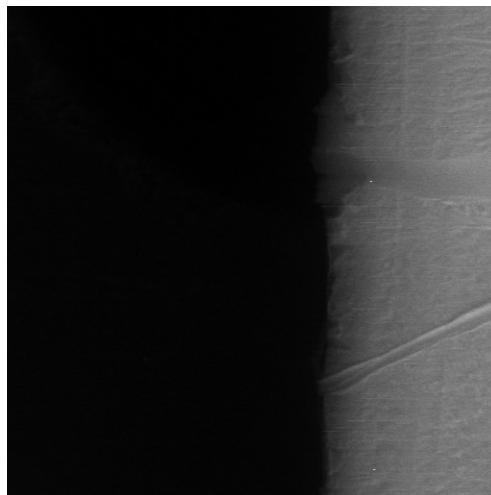
Obr. VII-1: Vzorek C, Pt, napětí $U_{SCINTILÁTOR} = 3 \text{ kV}$



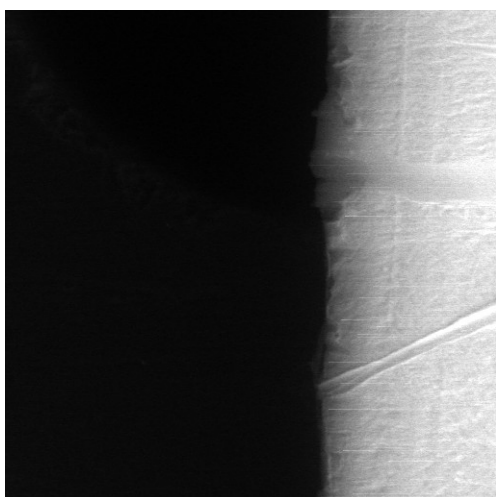
Obr. VII-2: Vzorek C, Pt, napětí $U_{SCINTILÁTOR} = 4 \text{ kV}$



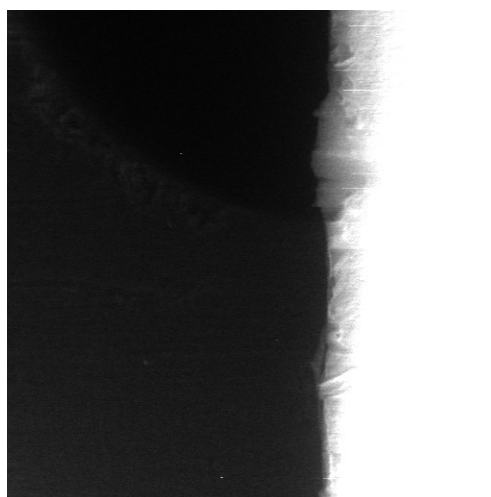
*Obr. VII-3: Vzorek C, Pt, napětí
 $U_{SCINTILÁTOR} = 5 \text{ kV}$*



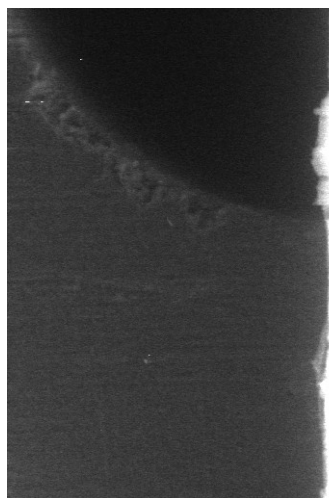
*Obr. VII-4: Vzorek C, Pt, napětí
 $U_{SCINTILÁTOR} = 6 \text{ kV}$*



*Obr. VII-5: Vzorek C, Pt, napětí
 $U_{SCINTILÁTOR} = 7 \text{ kV}$*



*Obr. VII-6: Vzorek C, Pt, napětí
 $U_{SCINTILÁTOR} = 7,5 \text{ kV}$*



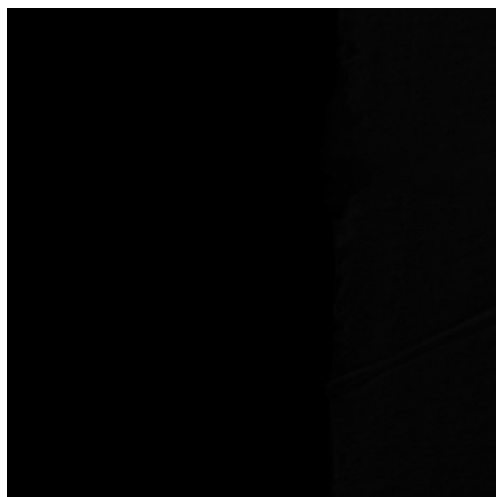
Obr. VII-7: Vzorek C, Pt, napětí $U_{SCINTILÁTOR} = 8 \text{ kV}$

VIII. Příloha č.8 – Závislost velikosti signálu na tlaku v komoře vzorku

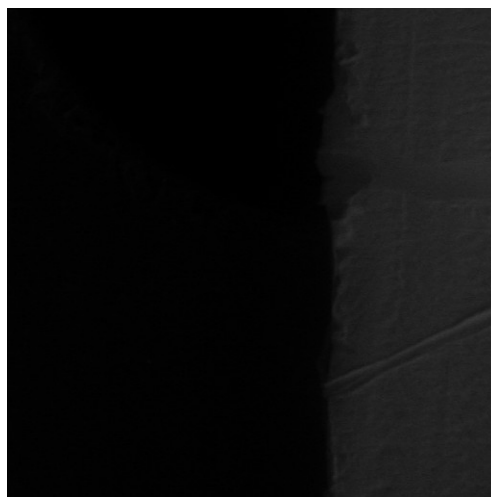
Tab. VIII.1: Závislost úrovně signálu z Pt a C na tlaku v komoše mikroskopu při $U_{E1} = 9V$,

$$U_{E2} = 30V, U_{C1} = 400V, U_{C2} = 560V, U_{SCINTILATOR} = 7kV$$

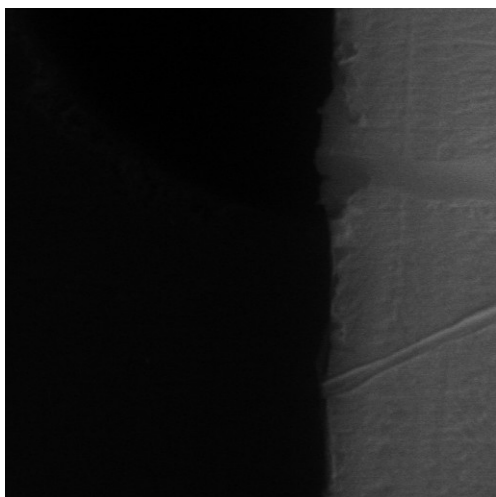
Tlak v komoře mikroskopu Tlak p [Pa]	Úroveň signálu z Pt [-]	Úroveň signálu z C (bez díry) [-]
300	5,13	0
400	33,51	2,07
500	68,55	6,02
600	107,51	10,3
700	161,34	18,09
800	250,59	71,87



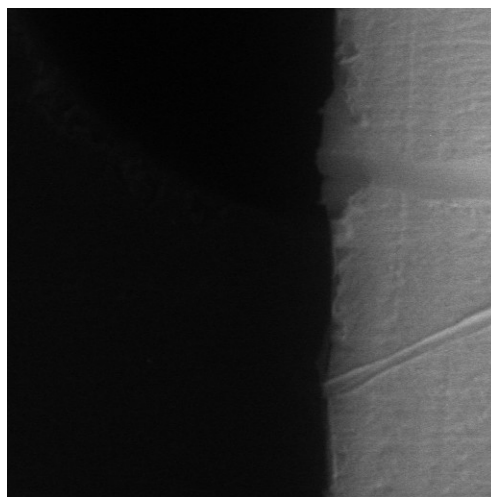
Obr. VIII-1: Vzorek C, Pt, tlak vodních par v komoře vzorku $P = 300 Pa$



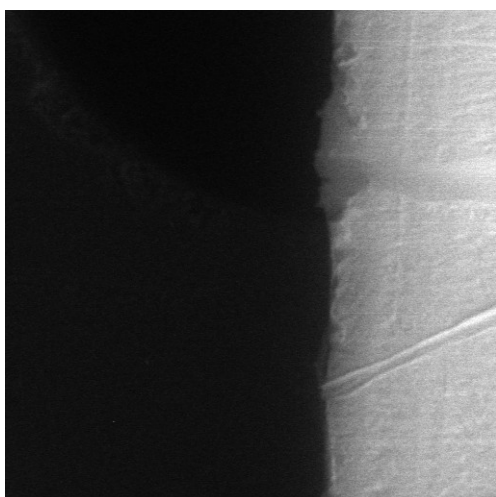
Obr. VIII-2: Vzorek C, Pt, tlak vodních par v komoře vzorku $P = 400 Pa$



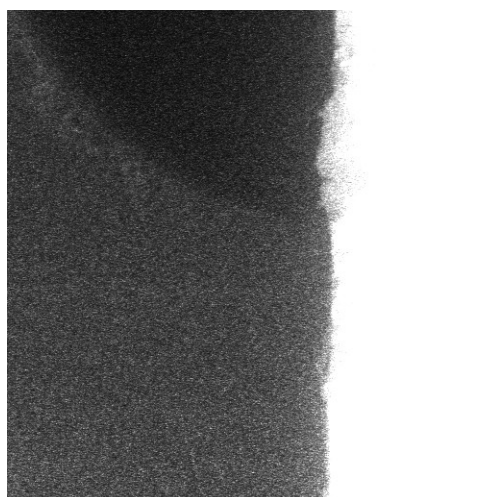
*Obr. VIII-3: Vzorek C, Pt, tlak vodních par
v komoře vzorku $P = 500 \text{ Pa}$*



*Obr. VIII-4: Vzorek C, Pt, tlak vodních par
v komoře vzorku $P = 600 \text{ Pa}$*



*Obr. VIII-5: Vzorek C, Pt, tlak vodních par
v komoře vzorku $P = 700 \text{ Pa}$*



*Obr. VIII-6: Vzorek C, Pt, tlak vodních par
v komoře vzorku $P = 800 \text{ Pa}$*